

بِسْمِ اللّٰهِ الرَّحْمٰنِ الرَّحِيْمِ



دانشگاه کاشان

دانشکده فیزیک

پایان نامه

جهت اخذ درجه کارشناسی ارشد

در رشته فیزیک

عنوان:

بررسی و تحلیل پدیده های غیر خطی و مشخصه های

پاشندگی لیزر در نانو موجبر ها

استاد راهنما :

دکتر حمیدرضا زنگنه

به وسیله :

منیره ملکیان ثابت

۱۳۹۰ بهمن

تقدیم به

مادر عزیز

و

پدر مهربانم

زیبا ترین آفرینش های خلقت ، استوار ترین تکیه گاه برای زندگی
من

تشکر و قدردانی

حمد و سپاس خدای را که توفیق کسب دانش و معرفت را به ما عطا فرمود. در اینجا بر خود لازم می دانم از تمامی استادی بزرگوار بویژه استاد دوره کارشناسی ارشد که در طول سالیان گذشته مرا در تحصیل علم و معرفت و فضائل اخلاقی یاری نموده اند تقدیر و تشکر نمایم. از استاد گرامی و بزرگوار جناب آقای دکتر حمیدرضا زنگنه که راهنمایی اینجانب را در انجام تحقیق، پژوهش و نگارش این پایان نامه تقبل نموده اند نهایت تشکر و سپاسگزاری را دارم. همچنین از تشریف فرمایی آقای دکتر بهرام جزی و آقای دکتر احسان روزمه بعنوان استاد داور داخل دانشگاه که پایان نامه اینجانب را مورد مطالعه قرار دادند و در جلسه دفاعیه شرکت نموده اند تشکر می نمایم.

در پایان هم از نماینده تحصیلات تکمیلی دانشگاه آقای دکتر بامنیری که قبول زحمت نموده اند، سپاسگزاری می نمایم.

چکیده

امروزه گسترش تکنولوژی، باعث کوچک سازی ادوات الکترونیکی و اپتیکی در اندازه های میکرو و نانو شده است. پیشرفت های اخیر در فناوری تولید ساختارهایی در ابعاد نانو، امکان دستیابی به سیستم های تمام اپتیکی و همچنین انجام پژوهش های بنیادی و بررسی فرآیند های اپتیکی در ابعاد نانو را فراهم کرده است. از این رو شبیه سازی این ساختارها از مسائل مهم روز به شمار می رود. در این پایان نامه تعیین و شبیه سازی پارامترهای انتشار از جمله ضریب شکست گروه لیزر دمش، ثابت انتشار و ضریب شکست موثر لیزر تراهرتز با استفاده از روش های محاسباتی تفاضل محدود حوزه ای زمان (FDTD) و تفاضل محدود حوزه ای فرکانس (FDFD) در موجبرهایی با ابعاد نانو انجام گرفته است. در این موجبر ها از بلورهای غیر خطی گالیم آرسناید (GaAs) و تلورید روی (ZnTe) و همچنین فلز نقره استفاده شده است. تولید امواج تراهرتز در این موجبرها می تواند با استفاده از روش تولید تفاضل فرکانسی (DFG) صورت گیرد.

كلمات کلیدی: نانو موجبر، روش تفاضل محدود حوزه ای فرکانس، روش تفاضل محدود حوزه ای زمان، تولید فرکانس تفاضلی، جورشدگی فاز

فهرست مطالب

صفحه

عنوان

۱.....	فصل اول : مقدمه.....
	فصل دوم : اپتیک غیر خطی
۵.....	۱-۲ مقدمه ای بر اپتیک غیر خطی.....
۷.....	۲-۲ توصیف بر هم کنش های نوری غیر خطی.....
۷.....	۱-۲-۲ تولید هماهنگ دوم.....
۹.....	۲-۲-۲ تولید بسامد مجموع و بسامد تفاضل.....
۱۲.....	۳-۲-۲ نوسان پارامتری نوری.....
۱۳.....	۴-۲-۲ قطبش مرتبه سوم.....
۱۳.....	۳-۲ تعریف پذیرفتاری غیر خطی.....
۱۴.....	۴-۲ ویژگی های پذیرفتاری غیر خطی.....
۱۵.....	۱-۴-۲ حقیقی بودن میدان ها.....
۱۵.....	۲-۴-۲ تقارن جایگشت ذاتی.....
۱۶.....	۳-۴-۲ تقارن های محیط بدون اتلاف.....
۱۶.....	۴-۴-۲ تقارن کلایمن.....
۱۷.....	۵-۲ نماد گذار قراردادی.....
۱۸.....	۶-۲ توصیف بر هم کنش های نوری غیر خطی با معادله موج.....
۱۸.....	۱-۶-۲ معادله موج در محیط های نوری غیر خطی.....
۲۰.....	۲-۶-۲ معادلات کوپل شده موج برای تولید بسامد تفاضل.....
۲۳.....	۷-۲ اثر جفت شدگی فاز.....

فصل سوم : امواج تراهertz

۲۶.....	۱-۳ مقدمه
۲۸.....	۲-۳ کاربردهای امواج تراهertz
۳۲.....	۳-۳ روش های تولید امواج تراهertz
۳۲.....	۱-۳-۳ روش آنتن گسیل کننده رسانش نوری
۳۲.....	۲-۳-۳ یکسو سازی اپتیکی در محیط غیر خطی
۳۴.....	۴-۳ روش های آشکار سازی تراهertz
۳۴.....	۱-۴-۳ آنتن های گیرنده رسانش نوری
۳۵.....	۲-۴-۳ نمونه برداری الکترواپتیکی

فصل چهارم : روش FDTD

۳۸.....	۱-۴ مقدمه
۳۹.....	۲-۴ روش تفاضل محدود
۴۰.....	۳-۴ روش تفاضل محدود حوزه ای فرکانس
۴۴.....	۴-۴ روش تفاضل محدود حوزه ای زمان
۴۵.....	۱-۴-۴ ویژگی های FDTD
۴۶.....	۱-۱-۴-۴ تعیین ابعاد شبکه در FDTD
۴۶.....	۲-۱-۴-۴ تعیین پله زمانی در FDTD
۴۷.....	۵-۴ مقدمه ای بر الگوریتم Yee
۵۱.....	۱-۵-۴ عبارت تفاضل متناهی برای معادلات ماقسول در سه بعد
۵۴.....	۶-۴ شبیه سازی یک بعدی FDTD
۵۴.....	۱-۶-۴ روابط به روز رسانی
۵۸.....	۲-۶-۴ اجرای شبیه سازی FDTD یک بعدی
۵۹.....	۳-۶-۴ برنامه FDTD شبیه ساز یک بعدی
۶۱.....	۷-۴ شبیه سازی دو بعدی FDTD
۶۱.....	۱-۷-۴ معادلات به روز رسانی دو بعدی قطبش TM
۶۵.....	۲-۷-۴ اجرای شبیه سازی FDTD دو بعدی مود TM
۶۶.....	۸-۴ چشمeh موج در FDTD
۶۶.....	۱-۸-۴ روش های اعمال منبع موج در FDTD

۶۸.....	۲-۸-۴ شکل منبع موج
۶۹.....	۹-۴ شرایط مرزی محیط شبیه سازی در FDTD
	فصل پنجم : مدل سازی و شبیه سازی
۸۰.....	۱-۵ مقدمه.
۸۰.....	۲-۵ نیمه هادی ها و خواص آنها
۸۲.....	۳-۵ تئوری فرآیند تولید تفاضل فرکانس در موجبر
۸۳.....	۱-۳-۵ بدست آوردن معادلات مربوط به تولید موج تراهرتز در موجبر
۸۶.....	۲-۳-۵ بدست آوردن معادلات مربوط به دامنه های لیزر دمش و سیگنال
۸۸.....	۳-۳-۵ شرط جورشده فاز برای تولید امواج تراهرتز
۸۹.....	۴-۳-۵ محاسبه بازده تولید موج تراهرتز در موجبرها
۹۱.....	۴-۵ مدل سازی و شبیه سازی چند موجبر با روش FDTD
۱۱۱.....	نتیجه گیری
۱۱۲.....	فهرست مراجع
	پیوست ها
۱۱۶.....	پیوست ۱
۱۱۶.....	پیوست ۲
۱۱۷.....	پیوست ۳

فهرست شکل ها

عنوان	صفحه
شکل ۲-۱ (الف) هندسه تولید هماهنگ دوم.(ب) نمودار تراز انرژی.....	۸
شکل ۲-۲ تولید بسامد مجموع.(الف) هندسه برهم کنش . (ب) توصیف تراز- انرژی.....	۱۱
شکل ۲-۳ تولید بسامد تفاضل .(الف) هندسه برهم کنش .(ب) توصیف تراز - انرژی.....	۱۲
شکل ۲-۴ تولید فرکانس تفاضل.....	۲۰
شکل ۳-۱ طیف امواج الکترومغناطیس [۵].....	۲۷
شکل ۳-۲ اولین تصاویری که توسط امواج ترا هرتز در سال ۱۹۹۵ تهیه شد.....	۲۸
شکل ۳-۳ تصویر برداری ترا هرتز از یک دندان [۷].....	۲۹
شکل ۳-۴ تصویر برداری ترا هرتز از وسایل پنهان شده.....	۳۱
شکل ۳-۶ شمایی از طرز کار یک آنتن رسانش نوری گیرنده.....	۳۵
شکل ۳-۷ اساس تکنیک نمونه برداری اپتیکی: چیدمانی با یک گیرنده رسانش نوری.....	۳۶
شکل ۴-۱ سلول واحد Yee به همراه میدان های الکتریکی و مغناطیسی.....	۴۸
شکل ۴-۲ نمایش آرایش میدانهای الکتریکی و مغناطیسی در الگوریتم.....	۴۹
شکل ۴-۳ آرایش دو بعدی گره های میدان های الکتریکی و مغناطیسی در فضا و زمان.....	۵۵
شکل ۴-۴ آرایش گره های میدانهای التریکی و مغناطیسی در دو بعد فضا و زمان.....	۵۶
شکل ۴-۵ شبکه یک بعدی FDTD میدانهای الکتریکی و مغناطیسی مجاور با اندیس یکسان.....	۵۸
شکل ۴-۶ نمودار آبشاری پیش روی موج در شبکه FDTD با زمان.....	۶۱
شکل ۴-۷ آرایش گره های میدان ها در شبکه FDTD دو بعدی قطبش TM.....	۶۳
شکل ۴-۸ توزیع میدان الکتریکی در شبکه دو بعدی TM در پله زمانی.....	۶۶
شکل ۴-۹ : شبکه بندی در مرز (رسانای الکتریکی).....	۷۰
شکل ۴-۱۰ مرز واقع بر امتدادها و فرود موج در جهت X.....	۷۸
شکل ۴-۱۱ ناحیه PML به عنوان ناحیه مرزی جاذب اطراف محیط خلا.....	۸۰
شکل ۵-۲ نمایی از موجبر فلزی شکافدار $h=0.1\text{ }\mu\text{m}$ $w_1=4\text{ }\mu\text{m}$ و $w_2=0.24\text{ }\mu\text{m}$	۹۳

شکل ۵-۴ (الف) نحوه انتشار مولفه حقیقی E_y لیزر دمش هنگامی که فرکانس آن از 90 THz تا 160 THz باشد (ب) مولفه حقیقی E_x موج

۹۴.....THz

شکل ۵-۷ نمایی از موجبر فلزی شکافدار $a=4/5\text{ }\mu\text{m}$ و $b=0/5\text{ }\mu\text{m}$

۹۶..... $c=0/5\mu\text{m}$

شکل ۵-۹ (الف) نحوه انتشار مولفه حقیقی E_y لیزر دمش هنگامی که فرکانس آن بین 187 THz تا 246 THz باشد (ب) مولفه حقیقی E_x موج

۹۸.....THz

شکل ۵-۱۲ نمایی از موجبر طراحی شده. $a=0/24\text{ }\mu\text{m}$ و $b=0/3\text{ }\mu\text{m}$.

شکل ۵-۱۵ (الف) نحوه انتشار مؤلفه E_x موج تراهرتز در موجبر. (ب) نحوه انتشار مؤلفه E_y لیزر دمش در موجبر هنگامی که فرکانس آن بین 150 THz تا 187 THz تغییر کند.

۱۰۲.....

شکل ۵-۲۰ (الف) نحوه انتشار مولفه حقیقی E_y لیزر دمش هنگامی که فرکانس آن بین 191 THz تا 220 THz تغییر کند. (ب) مولفه حقیقی E_x موج

۱۰۶.....THz

شکل ۵-۲۲ (الف) موجبر مستطیلی ناهمگن با دی الکتریک SiO_2 . (ب) موجبر مستطیلی ناهمگن با لایه ای باریک از دی

الکتریک Si .

شکل ۵-۲۴ (الف) نحوه انتشار مؤلفه E_y در موجبر SiO_2 . (ب) نحوه انتشار مؤلفه E_y در موجبر Si

فهرست نمودارها

نمودار ۳-۵ نمودار جذبی بخار آب [۱۸].....	۳۲
نمودار ۱-۵ نمودار ضریب شکست بر حسب طول موج برای GaAs	۸۳
نمودار ۳-۵ پاشندگی لیزر دمش در موجبر شکافدار. هنگامی که طول موج لیزر دمش از $1/8 \mu\text{m}$ تا $3/36 \mu\text{m}$ تغییر کند.....	۹۳
نمودار ۵-۵ پاشندگی موج THz در موجبر شکافدار.....	۹۵
نمودار ۶-۵ ضریب شکست موثر موج THz و ضریب شکست گروه لیزر دمش.....	۹۵
نمودار ۸-۵ پاشندگی لیزر دمش در موجبر شکافدار. هنگامی که طول موج لیزر دمش از $1/2 \mu\text{m}$ تا $1/6 \mu\text{m}$ تغییر کند.....	۹۷
نمودار ۱۰-۵ پاشندگی موج THz در موجبر شکافدار.....	۹۹
نمودار ۱۱-۵ ضریب شکست موثر موج THz و ضریب شکست گروه لیزر دمش، هنگامی که طول موج لیزر دمش از $3/5 \text{THz}$ تا $1/2 \mu\text{m}$ تغییر کند(بسامد از 187 THz تا 246 THz) و کوکپذیری موج از $2/5 \text{THz}$ تا $1/6 \mu\text{m}$ باشد.....	۹۹
نمودار ۱۳-۵ پاشندگی لیزر دمش در موجبر هنگامی که طول موج آن بین $1/6 \mu\text{m}$ تا $1/9 \mu\text{m}$ تغییر کند.....	۱۰۱
نمودار ۱۴-۵ پاشندگی موج تراهertz در موجبر.....	۱۰۱
نمودار ۱۶-۵ ضریب شکست موثر موج THz و ضریب شکست گروه لیزر دمش، هنگامی که طول موج لیزر دمش از $1/6 \mu\text{m}$ تا $1/2 \mu\text{m}$ تغییر کند(بسامد از 150 THz تا 187 THz).....	۱۰۳
نمودار ۱۷-۵ نمودار ضریب شکست بر حسب طول موج برای ZnTe	۱۰۴
نمودار ۱۸-۵ پاشندگی لیزر دمش در موجبر هنگامی که فرکانس آن بین 190 THz تا 220 THz تغییر کند.....	۱۰۵
نمودار ۱۹-۵ پاشندگی موج THz در موجبر شکافدار.....	۱۰۵

نمودار ۲۱-۵. ضریب شکست موثر موج THz و ضریب شکست گروه لیزر دمش، هنگامی که طول موج لیزر دمش از $1/5\mu\text{m}$ تا $1/3\mu\text{m}$ تغییر کند(بسامد از 191 THz تا 220 THz)^(۲۲)
نمودار ۲۳-۵ پاشندگی در موجبر مستطیلی، شکل(۲۲-۵الف) با ماده دی الکتریک SiO_2
نمودار ۲۵-۵ پاشندگی در موجبر مستطیلی، شکل(b-۳) با ماده دی الکتریک Si

فصل اول

مقدمه

پیشرفت های اخیر در فناوری تولید ساختارهایی در ابعاد نانو، امکان دستیابی به سیستم های تمام اپتیکی و همچنین انجام پژوهش های بنیادی و بررسی فرآیند های اپتیکی در ابعاد نانو را فراهم کرده است [۲].

در این راستا شاخه های جدیدی از علم همچون نانو اپتیک و نانو فوتونیک پدید آمده که به بررسی پدیده های اپتیکی برهمنش نور - ماده و امکان کنترل نور در ابعاد نانو می پردازند که طی دهه ی گذشته رشد قابل ملاحظه ای داشته است. بنابراین به منظور کنترل وهدایت نور در ابعاد نانو، ابزارهای فوتونیکی معادل با ابزارهای الکترونیکی موجود از قبیل کاواک، موجبر وغیره با کمک بلورهای فوتونیک ساخته شده اند. در این حوزه ، به دلیل پیچیدگی در ساختارهای مورد بررسی و میدان های برهمنش کننده ، اغلب از تکنیک های محاسباتی استفاده می شود. در حوزه تکنولوژی می توان هزینه بسیار بالای طراحی و ساخت

قطعات را بطور قابل ملاحظه ای کاهش داد. بدین منظور ابتدا مدل مورد نظر توسط نرم افزارهای بهینه سازی و شبیه سازی طراحی می گردد. پس از اطمینان از کارایی مدل با پارامترهای بدست آمده از شبیه سازی، قطعه مورد نظر ساخته می شود. یکی از روش های پرکاربرد در حل مسائل، روش عددی تفاضل محدود است که برای حل معادلات دیفرانسیلی استفاده می شود و مبنای این روش، حلقه بندی فضای مورد بررسی به عناصر کوچک است. معادله دیفرانسیلی در روش عددی تفاضل محدود با استفاده از تعریف مشتق- یعنی تفاضل مقدار تابع در دو نقطه تقسیم بر فاصله آنها حل می شود. برای حل مسائل الکترومغناطیسی معمولاً از الگوریتم Yee استفاده می گردد^[۳۵] در این روش از شکل دیفرانسیلی معادلات ماکسول، به روش تفاضلات محدود مرکزی در هر دو حوزه زمان(FDTD)^۱ و فرکانس(FDTD)^۲ استفاده می شود. روش تفاضل محدود اولین بار توسط تام در سال ۱۹۲۰ ارائه شد [۳۴,۳۶] . که ما در این پایان نامه از روش تفاضل محدود دامنه زمان (FDTD) به دلیل توانایی حل معادلات ماکسول برای ساختار های پیچیده با ابعاد و شکل دلخواه استفاده می کنیم. روش FDTD به خاطر سادگی و انعطاف پذیری روش بسیار خوبی برای شبیه سازی میکرو نوارها است که این روش توسط Yee در سال ۱۹۶۶ ارائه شد که با کمک آن معادلات ماکسول در مسائل پراکندگی را به صورت عددی حل می شد [۳۵] .

در اوایل دهه ۸۰ میلادی تافلو^۳ و دیگران روش های عددی مربوط به این الگوریتم را گسترش[۴۲-۴۴] و مدلسازی انتشار و پراکندگی امواج الکترومغناطیس در محیط های غیرخطی و پاشنده با استفاده از این روش انجام شد.

در این روش، فضای شبیه سازی با سلول های شبکه بندی شده و با اختصاص خواص اپتیکی به سلول های این شبکه، ساختار مورد مطالعه مدل سازی می شود. بر روی هر سلول مولفه

^۱ Finite Difference Time Domain

^۲ Finite Difference Frequency Domain

^۳ Taflove

های میدان الکتریکی و مغناطیسی با ترتیب خاصی قرار داده می شوند. با به کارگیری تفاضل محدود بر روی معادلات وابسته به زمان ماسکول، مجموعه ای از روابط برای محاسبه مولفه های میدان الکترومغناطیس بر حسب مقادیر مربوط در زمان های قبل به دست می آیند. بدین ترتیب که ابتدا میدان های مورد بحث با شرایط اولیه مناسب مقدار دهی می شوند و سپس در یک حلقه ای زمانی مقادیر جدید برای هر مولفه با در اختیار داشتن میدان های الکتریکی و مغناطیسی مجاور در یک گام زمانی عقب تر بدست می آیند. پس از پایان یافتن زمان شبیه سازی، با در اختیار داشتن مقادیر میدان های الکتریکی و مغناطیسی در تمامی سلول ها، می توان کمیت های فیزیکی مورد نظر را محاسبه کرد.

امروزه با توجه به کاربردهای دو دهه ای گذشته منطقه فرکانسی تراهertz در علوم و تکنولوژی، محققان بسیاری را در این زمینه جذب کرده است. در طیف الکترومغناطیس، طول موج های متفاوتی وجود دارند از جمله امواج رادیویی، میکروویو، مادون قرمز، مرئی، اشعه ایکس و...در فاصله طول موج های بین پرتوهای میکروویو و مرئی امواج تراهertz قرار دارند[۵]. بسامد این امواج از چند تراهertz تا صد گیگا هرتز می باشد.

از جمله کاربردهای امواج تراهertz می توان به تصویر برداری وظیف سنجی در صنایع غذایی، پزشکی مانند شناسایی DNA، مطالعه امراضی چون سرطان می پردازد که در آن سلول ها دارای لرزش های تراهertzی می باشند و نیز ساخت سیستم های حفاظتی، تشخیص ترکیبات شیمیایی و کاربردهای دیگری در صنعت، نظامی و غیره را می توان اشاره کرد[۶].

از آنجا که فرکانس های چرخشی و ارتعاشی اکثر مولکول ها در این بازه طیفی قرار دارند در صورتیکه از این امواج برای تصویربرداری و اسکپتروسکوپی^۱ استفاده شود اطلاعات جالب و

^۱Spectroscopy

منحصر به فردی از ساختار مولکولی نمونه بدست می‌آید [۷]. با توجه به کاربردهای روز افزون امواج ترا هرتز تولید این امواج از مهمترین مسائل روز به شمار می‌رود.

در این پایان نامه موجبرهایی با ابعاد نانو برای تولید امواج ترا هرتز پیشنهاد شده است که در این نano موجبرها از بلورهای غیر خطی گالیم آرسناید (GaAs^1) و تلورید روی (ZnTe^2) و همچنین فلز نقره استفاده شده است.

امواج ترا هرتز در این موجبرها با روش تفاضل فرکانسی (DFG^3) تولید می‌شوند. در این روش دو پرتوی لیزری با فرکانس ω_1 و ω_2 در یک ماده غیرخطی ترکیب می‌شوند و پرتوی دیگری در فرکانس $\omega_1 - \omega_2$ پدید می‌آید. به عبارتی تولید امواج ترا هرتز در صورتی اتفاق می‌افتد که شرط جورشدگی فاز برقرار باشد به این صورت که ضریب شکست گروه لیزر دمتش برابر با ضریب شکست موثر موج در فرکانس تفاضلی ($n_{\text{gr}} = n_{\text{THz}}$) می‌باشد و همچنین تغییرات ثابت انتشار ($\Delta\beta$) صفر باشد. در انتهای این پایان نامه نحوه ای انتشار لیزر و شرط جورشدگی فاز با استفاده از روش FDTD با بهره گیری از الگوریتم Yee برای موجبرها مدلسازی و بررسی شده است.

Gallium arsenide¹

Zinc telluride²

³ Difference Frequency Generation

فصل دوم

اپتیک غیر خطی

۲- امقدمه ای بر اپتیک غیر خطی

اپتیک غیرخطی مطالعه پدیده هایی است که دراثر تغییر و اصلاح ویژگی های نوری مواد در حضور نور رخ می دهد. نوعاً تنها نور لیزر، شدت کافی را برای تصحیح ویژگی های نوری اجسام دارد. در واقع، آغاز شاخه اپتیک غیرخطی به کشف تولید هماهنگ دوم توسط فرانکن و همکارانش در سال ۱۹۶۱، بلا فاصله بعد از به نمایش در آمدن نحوه کار اولین لیزر به وسیله‌ی مایمن در سال ۱۹۶۰، بر می گردد [۳، ۱].

پدیده های نوری غیرخطی از این جهت "غیرخطی"ند که وقتی اتفاق می افتند که پاسخ سیستم مادی به میدان نوری اعمال شده یک پاسخ غیرخطی باشد. برای مثال، تولید هماهنگ دوم نتیجه بخشی از پاسخ اتمی است که بستگی به توان دوم قدرت میدان نوری اعمال شده دارد. در نتیجه شدت نور تولید شده در بسامد هماهنگ دوم با مربع شدت نور لیزر اعمال شده افزایش می یابد. برای توضیح دقیق‌تر از اپتیک غیرخطی بررسی می کنیم که گشتاور دو قطبی در واحد حجم، یا قطبش ($\tilde{P}(t)$) یک جسم چگونه به قدرت ($\tilde{E}(t)$) میدان نوری اعمال شده بستگی دارد. در اپتیک خطی، قطبش القا شده بستگی خطی به میدان الکتریکی دارد و معمولاً با رابطه

$$\tilde{P}(t) = \epsilon_0 \chi^{(1)} \tilde{E}(t) \quad (1-2)$$

توصیف می شود، که ثابت تناسب $\chi^{(1)}$ پذیرفتاری^۱ خطی نامیده شده است. اغلب در نورشناسی غیرخطی، می توان پاسخ نوری غیرخطی را با تعمیم رابطه (۱-۲) از طریق بسط قطبش $\tilde{P}(t)$ بر حسب توان های قدرت میدان $\tilde{E}(t)$ به صورت زیر توصیف کرد :

$$\begin{aligned} \tilde{P}(t) &= \epsilon_0 [\chi^{(1)} \tilde{E}(t) + \chi^{(2)} \tilde{E}^2(t) + \chi^{(3)} \tilde{E}^3(t) + \dots] \\ &\equiv \tilde{P}^{(1)}(t) + \tilde{P}^{(2)}(t) + \tilde{P}^{(3)}(t) + \dots \end{aligned} \quad (2-2)$$

کمیت های $\chi^{(2)}$ و $\chi^{(3)}$ به ترتیب پذیرفتاری نوری غیرخطی مرتبه دوم و سوم نامیده می شوند.

$\tilde{P}^{(2)}(t) = \epsilon_0 \chi^{(2)} \tilde{E}(t)^2$ را قطبش غیرخطی مرتبه دوم و $\tilde{P}^{(3)}(t) = \epsilon_0 \chi^{(3)} \tilde{E}(t)^3$ را قطبش غیرخطی مرتبه سوم می نامیم. برهمن کنش های نوری غیرخطی مرتبه دوم فقط در بلورهایی که مرکز تقارن و یا به عبارتی در بلورهایی که تقارن وارونی ندارند، اتفاق می افتد. به دلیل آنکه مایعات، گازها و جامدات بی شکل (مانند شیشه) و حتی بسیاری از بلورها دارای تقارن وارونی هستند، $\chi^{(2)}$ برای آنها تقریباً قابل صرف نظر کردن است و لذا این مواد نمی توانند برهمن کنش های غیرخطی مرتبه دوم به وجود آورند. از طرف دیگر، برهمن کنش های نوری غیرخطی مرتبه سوم هم در محیط هایی که دارای مرکز تقارن هستند و هم در محیط هایی بدون مرکز تقارن ایجاد می شوند.

حال برآورد ساده ای از اندازه این کمیت ها برای حالت عمومی رفتارهای غیرخطی ماهیت الکترونی دارند را ارائه می دهیم. هنگامی که دانه میدان اعمال شده $\tilde{E}(t)$ از مرتبه قدرت میدان الکتریکی اتمی ویژه $E_{at} = \frac{e}{a_0^2}$ ، که e بار الکترون است، این انتظار هست که پایین ترین مرتبه

تصحیح یعنی $\tilde{P}^{(2)}$ باید قابل مقایسه با پاسخ خطی $\tilde{P}^{(1)}$ باشد. به طور عددی مقدار $E_{at} = 2 \times 10^7 \text{ statvolt/cm}^2$ است. لذا انتظار داریم که تحت شرایط برانگیزش غیر تشدیدی،

Susceptibility'

پذیرفتاری مرتبه دوم $\chi^{(2)}$ از مرتبه $\chi^{(1)}$ باشد. برای مواد چگال، $\chi^{(1)}$ از مرتبه یک است و

لذا انتظار داریم که $\chi^{(3)}$ از مرتبه $\frac{1}{E_{at}}$ باشد و به طریق مشابه، انتظار داریم که $\chi^{(3)}$ از مرتبه $\frac{1}{E_{at}^2}$

$\chi^{(1)}$ باشد. استفاده از پذیرفتاری های مرتبه دوم و سوم برحسب ثابت های فیزیکی اصلی مفید

می باشد. با توجه به اینکه چگالی تعداد N ماده چگال از مرتبه a_0^{-3} است، بدست می آوریم

$$\cdot \chi^{(3)} \square \frac{\hbar^8}{m^4 e^{10}} \text{ و } \chi^{(2)} \square \frac{\hbar^4}{m^2 e^5}$$

عمومی ترین روش توصیف پدیده های نوری غیرخطی بر اساس بسط قطبش $\tilde{\mathbf{P}}(\mathbf{t})$ برحسب قدرت میدان الکتریکی اعمال شده $\tilde{\mathbf{E}}(\mathbf{t})$ است که در رابطه (۲-۱) انجام داده ایم. دلیل کلیدی بودن نقش قطبش در توصیف پدیده های غیرخطی آن است که در قطبش وابسته به زمان می تواند به عنوان چشممه جدید میدان الکترومغناطیسی عمل کند. برای مثال در بخش بعدی خواهید دید که معادله موج در یک محیط نوری غیرخطی شکل زیر را دارد.

$$\nabla^2 \tilde{\mathbf{E}} - \frac{n^2}{c^2} \frac{\partial^2 \tilde{\mathbf{E}}}{\partial t^2} = \frac{4\pi}{c^2} \frac{\partial^2 \tilde{\mathbf{P}}^{\text{NL}}}{\partial t^2} \quad (3-2)$$

که n ضریب شکست و c سرعت نور در خلاء است. می توانیم این رابطه را به عنوان یک معادله موج ناهمگن تعبیر کنیم که در آن قطبش $\tilde{\mathbf{P}}^{\text{NL}}$ مربوط به پاسخ غیرخطی، میدان الکتریکی $\tilde{\mathbf{E}}$ را به وجود می آورد.

این معادله بیانگر این واقعیت است که هرگاه $\frac{\partial^2 \tilde{\mathbf{P}}^{\text{NL}}}{\partial t^2}$ غیر صفر باشد، بارها شتاب می گیرند

۲-۲ توصیف های برهم کنش های نوری غیرخطی

در این بخش، توصیف های کیفی مختصری را برای تعدادی از برهم کنش های نوری غیرخطی ارائه می دهیم که انگیزه ای ما از بیان آن این است که خواننده به تنوع پدیده های نوری غیرخطی پی ببرد.

۲-۲-۱ تولید هماهنگ دوم

به عنوان مثالی از برهم کنش نوری غیرخطی، تولید هماهنگ دوم که به طور طرح وار شکل (۱-۲) نشان داده شده است را بررسی می کنیم.

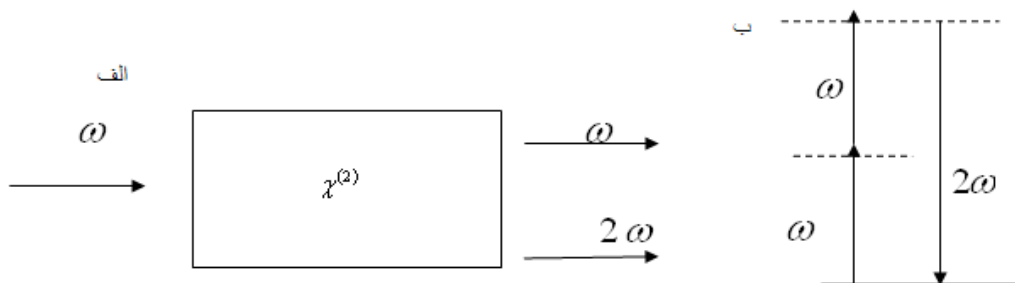
در این شکل، یک باریکه نور لیزر که قدرت میدان الکتریکی آن به صورت

$$\tilde{E}(t) = E e^{-i\omega t} + c.c. \quad (4-2)$$

نمایش داده می شود.

به بلوری که پذیرفتاری مرتبه دوم $\chi^{(2)}$ غیرصفر دارد می تابد، قطبش غیرخطی که در چنین بلوری ایجاد می شود و برابر معادله (۲-۲) به صورت $\tilde{P}^{(2)}(t) = \epsilon_0 \chi^{(2)} \tilde{E}(t)^2$ یا به صورت

$$\tilde{P}^{(2)}(t) = 2\epsilon_0 \chi^{(2)} E E^* + (\epsilon_0 \chi^{(2)} E^2 e^{-i2\omega t} + c.c.) \quad (5-2)$$



شکل ۱-۲ (الف) هندسه تولید هماهنگ دوم.(ب) نمودار تراز انرژی که تولید هماهنگ دوم را توصیف می کند

نوشته می شود. مشاهده می کنیم که قطبش مرتبه دوم شامل یک قسمت در بسامد صفر (جمله اول) و یک قسمت در بسامد 2ω (جمله دوم) است. بر طبق معادله موج دیفرانسیلی (۲-۳)، قسمت دوم منجر به تولید تابش با بسامد هماهنگ دوم می شود. در حالی که قسمت اول معادله (۵-۲) منجر به تولید تابش الکترومغناطیسی نمی شود (زیرا مشتق زمانی مرتبه دوم آن صفر است). این قسمت منجر به فرآیندی به نام یکسوسازی نوری می شود که در آن میدان الکتریکی ایستایی در داخل بلور غیرخطی تولید می شود. تحت شرایط تجربی مناسب بازده فرآیند تولید هماهنگ دوم می تواند به نحوی باشد که تقریباً تمام توان تابش فرودی در بسامد ω به تابش هماهنگ دوم با بسامد 2ω تبدیل شود. یکی از کاربردهای عام تولید هماهنگ